

รายการอ้างอิง

ภาษาอังกฤษ

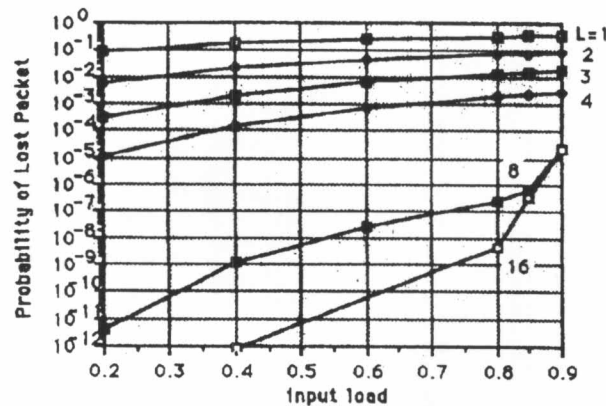
- Choa, H. J., "A novel architecture for queue management in the ATM network", IEEE Journal on Selected Areas in Communications Vol. 9 (September 1991): 1110-1118.
- Endo, N., and Kozaki, T., "Share buffer memory switch for an ATM exchange", IEEE Transactions on Communications Vol. 41 (January 1993): 237-245.
- Klienrock, L., Queueing systems vol. I: theory. New York: Wiley, 1975.
- Law, A. M., and Kelton, W. D., Simulation Modeling and Analysis. 2nd ed. New York: McGraw-Hill, 1991.
- Mitrani, I., Modelling of computer and communication systems. Cambridge: Cambridge University Press, 1987.
- Payne, J. A., Introduction to simulation programming techniques and methods of analysis. Singapore: McGraw-Hill, 1988.
- Tobagi, F. A., "Fast packet switch architectures for broadband integrate service digital networks", Proceedings of the IEEE Vol. 78 (January 1990): 133-167.
- Tobagi, F. A., Kwok, T., and Chiusssi, F. M., "Architecture, performance and implementation of the tandem banyan fast packet switch", IEEE transactions on Communications Vol. 9 (october 1991): 1173-1193.
- Yeh, Y. S., Hluchyj, M. G., and Acampora, A. S., "The knockout switch: a simple modular architecture for high-performance packet switch", IEEE Journal on Selected Areas in Communications VOL. SAC-5 (October 1987): 1274-1283.
- Yoon, H., Lui, M. T., Lee, K. Y., and Kim, M., "The knockout switch under nonuniform traffic", IEEE Transactions on Communications vol 43 (June 1995): 2149-2156.

ภาคผนวก

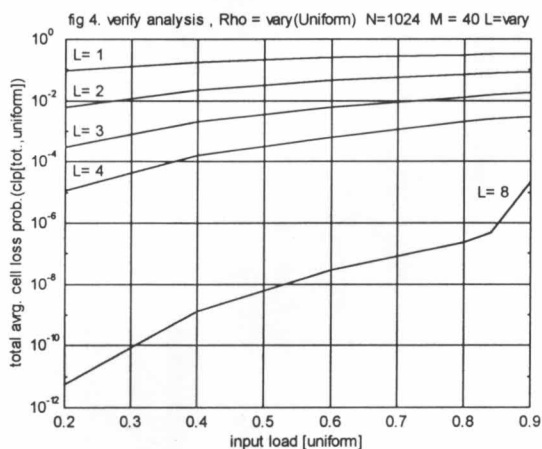
ภาคผนวก ก

การตรวจสอบความถูกต้องโดยการเปรียบเทียบผลกับในบทความ

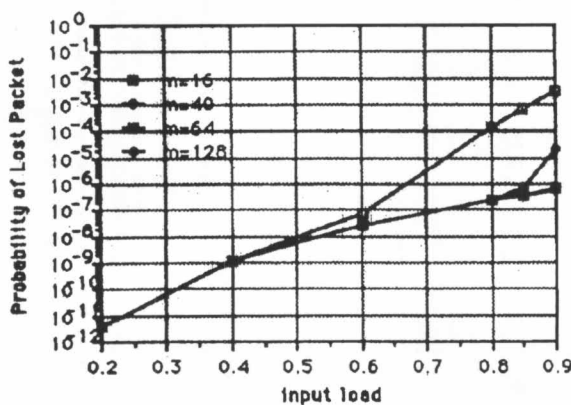
สำหรับการวิเคราะห์น็อกเอาต์สวิตช์เพื่อศึกษาผลกระทบของทราฟฟิกแบบไม่เป็นเบ็ดเสร็จและการกระจายออกไปยังเอาต์พุตแบบยูนิฟอร์มและนอนยูนิฟอร์มในบทความของ Yoon, et al. (1995) นั้น จะศึกษา น็อกเอาต์สวิตช์ที่มีขนาดใหญ่ ($N = 64$ ถึง 1024) แต่ในวิทยานิพนธ์นี้จะศึกษาเฉพาะน็อกเอาต์สวิตช์ที่มีขนาด $N = 16$ เท่านั้น และได้กำหนดการวิเคราะห์เพิ่มเติมในส่วนของเอาต์พุตบัพเฟอร์ ดังนั้นจึงต้องทำการเปรียบเทียบผลที่ได้จากการวิเคราะห์ที่กำหนดขึ้นกับผลในบทความเพื่อเป็นการตรวจสอบความถูกต้อง เมื่อผลจากการเปรียบเทียบถูกต้องจึงจะสามารถนำการวิเคราะห์ที่ได้ไปใช้ศึกษาสำหรับสวิตช์ที่มีขนาด $N = 16$ ได้ รูปที่ 1, 3, 5 และ 7 แสดงผลในบทความของ Yoon, et al. (1995) และรูปที่ 2, 4, 6, 8 แสดงผลที่ได้จากการวิเคราะห์ที่กำหนดขึ้น ซึ่งในรูปที่ 1 ถึง 6 แสดงค่าของความน่าจะเป็นในการสูญเสียของเซลล์เฉลี่ยรวมทั้งสวิตช์กับอินพุตโหลด ส่วนรูปที่ 7 และ 8 แสดงค่าของความน่าจะเป็นในการสูญเสียของเซลล์เฉลี่ยรวมทั้งสวิตช์กับค่าอัตราส่วนฮอตสเปด



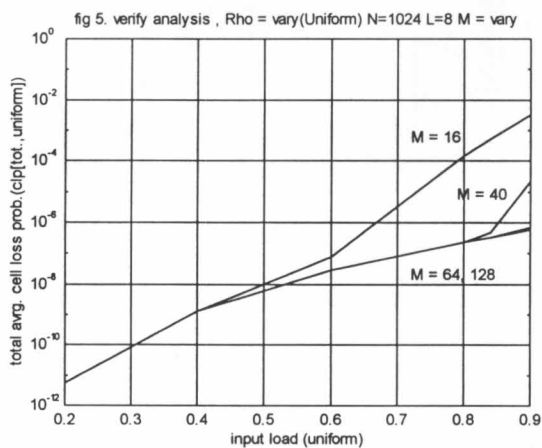
รูปที่ 1 ผลในบทความของ Yoon, et al. (1995) ($N = 1024$, $M = 40$ uniform traffic)



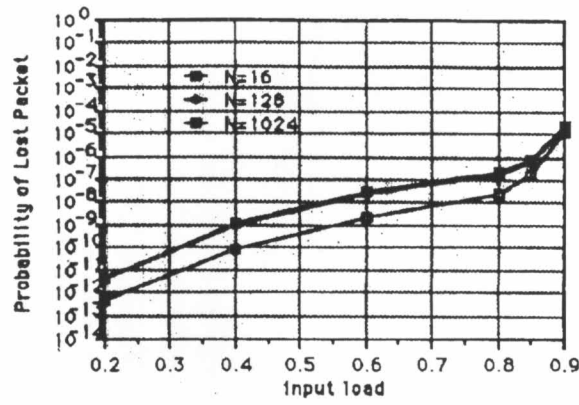
รูปที่ 2 ผลจากการวิเคราะห์ที่กำหนดขึ้น ($N = 1024$, $M = 40$ uniform traffic)



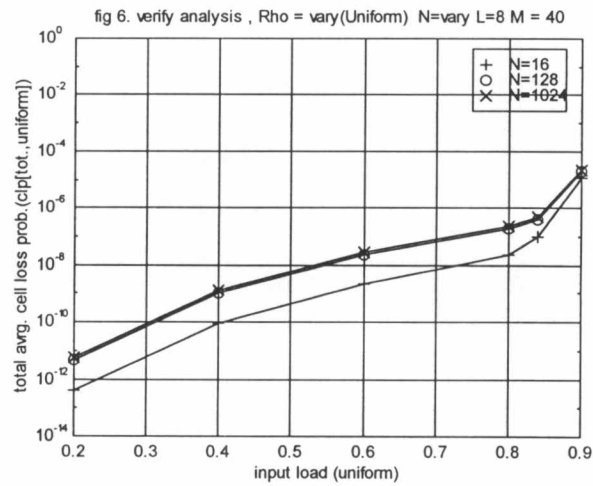
รูปที่ 3 ผลในบทความของ Yoon,et al. (1995) ($N = 1024$, $L = 8$ uniform traffic)



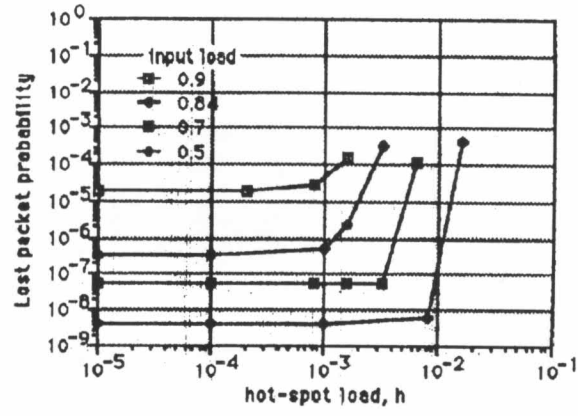
รูปที่ 4 ผลจากการวิเคราะห์ที่กำหนดขึ้น ($N = 1024$, $L = 8$ uniform traffic)



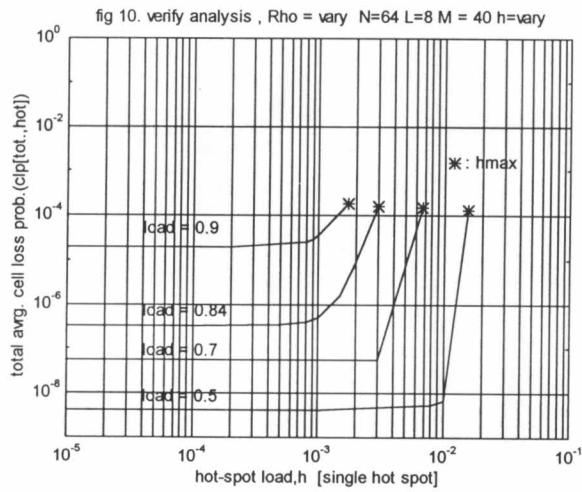
รูปที่ 5 ผลในบทความของ Yoon,et al. (1995) ($M = 40, L = 8$ uniform traffic)



รูปที่ 6 ผลจากการวิเคราะห์ที่กำหนดขึ้น ($M = 40, L = 8$ uniform traffic)



รูปที่ 7 ผลในบทความของ Yoon, et al. (1995) ($N = 64, M = 40, L = 8$ hot spot traffic)



รูปที่ 8 ผลจากการวิเคราะห์ที่กำหนดขึ้น ($N = 64, M = 40, L = 8$ hot spot traffic)

ประวัติผู้เขียน

นายณัฏฐ ปาลีวิช เกิดวันที่ 9 มีนาคม พ.ศ. 2513 ที่จังหวัดกรุงเทพมหานคร สำเร็จการศึกษาปริญญาตรีวิศวกรรมศาสตรบัณฑิต สาขาวิศวกรรมไฟฟ้า ภาควิชาวิศวกรรมไฟฟ้า คณะวิศวกรรมศาสตร์ สถาบันเทคโนโลยีราชมงคล ในปีการศึกษา 2534 และเข้าศึกษาต่อในหลักสูตรวิศวกรรมศาสตรมหาบัณฑิต ที่จุฬาลงกรณ์มหาวิทยาลัย เมื่อ พ.ศ. 2537 ปัจจุบันทำงานตำแหน่งวิศวกรระบบสื่อสารข้อมูล กองบริการสายการบิน บริษัท วิทยุการบินแห่งประเทศไทย จำกัด

